

## بررسی رفتار دنباله‌های تولید شده توسط نگاشتهای آشوبی

محمد دخیل علیان دانشگاه صنعتی اصفهان دانشکده برق و کامپیوتر تلفن: ۰۳۱۸۹۱۲۳۵۰	محمدرضا عارف دانشگاه صنعتی شریف دانشکده برق تلفن: ۰۲۱۸۹۱۲۱۱۴	بابک صادقیان دانشگاه صنعتی امیرکبیر دانشکده کامپیوتر تلفن: ۰۲۱۶۱۳۹۲۳۳
<a href="mailto:Md-alian@iut.cc.ac.ir">Md-alian@iut.cc.ac.ir</a>	<a href="mailto:Arej@awww.dci.co.ir">Arej@awww.dci.co.ir</a>	<a href="mailto:Basadegh@ce.aku.ac.ir">Basadegh@ce.aku.ac.ir</a>

چکیده: سیستمهای آشوبی از آنجا که دارای رفتاری نامنظم و تصادف‌گونه هستند در بسیاری از کاربردها می‌توانند مورد استفاده قرار گیرند. در این مقاله با توجه سواص قابل توجه این سیستمها سعی شده است رفتار نامنظم دنباله‌های تولید شده توسط برخی نگاشتهای آشوبی به منظور استفاده جهت تولید دنباله‌های شبه تصادفی مورد بررسی قرار گیرد.

کلمات کلیدی: آشوب، دنباله‌های شبه‌تصادفی، سیستمهای رمز پی‌دیزی، متغیرهای تصادفی

### ۱- مقدمه

آشوب یکی از رفتارهای جالب توجه است که بسیاری از پدیده‌های فیزیکی، شیمیایی، جوی و... قابل مشاهده می‌باشد [۲]. غیرخطی بودن از جمله عوامل مهم برای بروز رفتار آشوبی در سیستمهای دینامیکی و پدیده‌های طبیعی است. سیستمهای آشوبی از آنجا که دارای ساختاری معین بوده و در عین حال دارای رفتاری تصادفی هستند، در سالهای اخیر توجه بسیاری از محققین را به خود معطوف داشته است. سیستمهای رمز پی‌دیزی از آنجا که برای رمز کردن اطلاعات از یک دنباله تصادفی باید استفاده نمایند زمینه مساعدی را جهت استفاده از دنباله‌های تولید شده توسط سیستمهای آشوبی (دنباله‌های آشوبی) فراهم می‌کنند. به همین خاطر در این مقاله توجه خود را به بررسی رفتار این نگاشتهای معطوف نموده‌ایم. در این مقاله ابتدا سیستمهای با دینامیک یک بعدی را به اجمال بیان خواهیم نمود. بر همین اساس چهار نگاشت ارگاردیک متداول که دارای رفتار آشوبی هستند معرفی خواهند شد. پارامترهای نمای لیاپانوف و تابع خودهمبستگی دنباله‌های تولید شده توسط این نگاشتهای و علاوه بر آن تابع چگالی پاپا (idf) از جمله مواردی است که به آن پرداخته خواهد شد. متعاقب آن با توجه به ارتباط تنگاتنگ رفتار تصادفی دنباله‌های آشوبی با متغیرهای تصادفی که با تابع چگالی پاپا (idf) ارتباط مستقیم دارد، متغیرهای تصادفی را با دیدگاهی خاص مورد بررسی قرار داده و قضایایی را در این ارتباط مطرح خواهیم نمود. نتایج این بخش کمک مؤثری در توجیه رفتار دنباله‌های آشوبی می‌نماید. در ادامه رفتار نگاشتهای آشوبی را در عمل مورد بررسی قرار داده و اثر محدودیت محاسبات با گرد کردن اعداد را بر دنباله‌های آشوبی خصوصاً در مورد دوره تناوب آنها مورد توجه قرار می‌دهیم.

### ۲- نگاشتهای یک بعدی

آشوب در سیستمهای با معادلات غیرخطی در حالتهای یک بعدی و چندبعدی بروز می‌کند و غیرخطی بودن یک شرط لازم برای ظهور این

1- Deterministic

2- One dimensional

3- Invariant Density Function.

رفتار در سیستمها می باشد [2] از آنجا که هدف ما نهایتاً یکارگیری این سیستمها برای تولید دنباله های شبه تصادفی است، لذا سیستمهایی با معادلات دیفرانس که توسط نگاشتهایی به صورت (1) قابل بیان هستند، مورد بررسی قرار می گیرند:

$$x_{n+1} = g(x_n) \quad (1)$$

$g(\cdot)$  یک نگاشت غیرخطی است و  $x_0$  نیز در حالت کلی می تواند یک بردار باشد. از آنجا که پیاده سازی نگاشتهای یک بعدی ساده بوده و ثاباً رفتار آنها به قدر کافی پیچیده می باشد، بدین جهت این نگاشتهای برای هدف مورد نظر انتخاب گردیدند. نگاشتهایی که در این مقاله مورد بررسی قرار می گیرند، نگاشتهایی هستند که روی یک ناحیه بیومر محدود از اعداد حقیقی دارای رفتار آشوبی می باشد.

فرض کنید دنباله اعداد  $(x_0, x_1, x_2, \dots, x_{n-1}, \dots)$  توسط نگاشت (1) بدست آمده باشد که در این دنباله  $x_0$  برابر (2) می باشد:

$$x_i = g(g(\dots g(x_0)\dots)) \quad (2)$$

تحت شرایط خاصی رفتار دنباله مورد نظر نامنظم و اصطلاحاً آشوبی خواهد شد. از جمله این شرایط حساسیت نسبت به حالت اولیه، تراگذر توپولوژیکی، بودن و چگالی بودن نقاط تناوبی در ناحیه تعریف [2] می باشد. البته آشوب در شاخه های مختلف علوم تعاریف و تعبیر مختلفی پیدا کرده است و تعریف واحدی برای آن ذکر نشده است، با این وجود حساسیت نسبت به حالت اولیه از مهمترین این ویژگیها به شمار می رود [3]. تحت نگاشت آشوبی  $g$  در نقطه کنار هم از یکدیگر دور خواهند شد. میزان دور شدن نقاط از یکدیگر معیاری برای رفتار آشوبی نگاشت می باشد. نمای لیاپانوف  $(\lambda(x_0))$  پارامتری است که به همین منظور تعریف شده است.

$$\lambda(x_0) = \lim_{N \rightarrow \infty} \frac{1}{N} \sum_{i=0}^{N-1} \log |g'(x_i)| \quad (3)$$

برای آشوبی بودن نگاشت، باید  $\lambda$  مثبت باشد این پارامتر جهت مقایسه کمی نگاشتهای مورد استفاده قرار می گیرد.

یکی از ویژگیهای دنباله های تولید شده توسط نگاشتهای آشوبی (دنباله های آشوبی) رفتار نامنظم و تصادفی آنها می باشد. به منظور توصیف این رفتار برای دنباله های آشوبی 'تابع چگالی پاپا' ( $idf$ ) تعریف شده است. تابع چگالی پاپا درست نظیر تابع چگالی احتمال بوده و تمامی خواص آن را دارا می باشد. تابع چگالی پاپا برای نگاشت  $g(\cdot)$  که روی فاصله واحد به صورت (4) بیان شده است:

$$x_{n+1} = g(x_n) \quad x_n \in [0,1] \quad n = 0,1,2,\dots \quad (4)$$

اینچنین تعریف می گردد:

$$f(x) = \lim_{N \rightarrow \infty} \frac{1}{N} \sum_{i=0}^{N-1} \delta[x - g^i(x_0)] \quad (5)$$

اگر تابع چگالی پاپا به  $x_0$  وابسته نباشد، نگاشت مورد نظر را ارگادیک گویند [4]. برای یک نگاشت آشوبی ارگادیک با تابع چگالی پاپای  $f(x)$ ، نمای لیاپانوف از رابطه انتگرالی (5-6) بدست می آید:

$$\lambda = \int f(x) \log |g'(x)| dx \quad (6)$$

با استفاده از تابع چگالی پاپا تابع مستکی دنباله ها نیز به صورت (7) محاسبه می شود [4]:

$$c(m) = \lim_{N \rightarrow \infty} \frac{1}{N} \sum_{i=0}^{N-1} \bar{x}_{i+m} \cdot \bar{x}_i \quad \bar{x}_i = f^i(x_0) - \bar{x} \quad \bar{x} = \lim_{N \rightarrow \infty} \frac{1}{N} \sum_{i=0}^{N-1} f^i(x_0) \quad (7)$$

که در عبارت فوق  $\bar{x}$  برابر میانگین اعداد حاصل از تکرارهای مختلف در دنباله می باشد.

اگر تابع چگالی پاپا برای نگاشت ارگادیک مورد نظر برابر  $f(x)$  باشد، در این صورت تابع خودهمبستگی به صورت زیر محاسبه می شود [4]:

1 - Difference

2 - Topologically transitive.

3 - Dense.

4 - Unit interval

5 - Correlation function.

$$c(m) = \int xg^m(x)f(x)dx - \left[ \int xf(x)dx \right]^2 \quad (8)$$

نگاشت لجستیک: نگاشت لجستیک به صورت (9) تعریف می شود. رفتار این نگاشت به ازای تغییرات پارامتر  $\mu$  دقیقاً مورد بررسی قرار گرفته است [2].

$$g(x) = \mu x(1-x) \quad x \in [0,1] \quad (9)$$

این بررسیها نشان می دهد، حوالی  $\mu = 4$  رفتار نگاشت روی فاصله واحد آشوبی می گردد هنگامی که  $\mu$  از مقدار خاصی حوالی  $\mu = 3.83$  بزرگتر شود نمای لیپانوف مثبت شده و از این نقطه به بعد است که رفتار آشوبی نمایان می گسرد. به ازای  $\mu = 4$  نگاشت لجستیک دارای ویژگیهای خاص یک نگاشت آشوبی بوده و نگاشت مذکور دارای هیچ سیکل جاذب روی ناحیه واحد نخواهد بود [2]. این نگاشت یک نگاشت ارگودیک می باشد که تابع چگالی پایا برای آن به صورت (10) محاسبه شده است [4].

$$f(x) = \frac{1}{\pi \sqrt{x(1-x)}} \quad x \in [0,1] \quad (10)$$

با توجه به تابع چگالی پایا، نمای لیپانوف برای این نگاشت برابر  $Ln 2$  بدست آمده است [4].

علاوه بر این تابع همبستگی نگاشت  $g(x) = 4x(1-x)$  به صورت زیر بدست می آید [1].

$$c(m) = \frac{\delta(m)}{8} \quad m = 0,1,2,\dots \quad (11)$$

رابطه (11) نشان می دهد که نتایج حاصل شده از تکرارهای نگاشت لجستیک نامعبئه هستند. نگاشت مثلثی: نگاشت مثلثی در حالت کنی به صورت (12) تعریف می شود:

$$g(x) = \begin{cases} cx & 0 < x \leq 0.5 \\ c(1-x) & 0.5 < x \leq 1 \end{cases} \quad 1 < c \leq 2 \quad (12)$$

تابع چگالی پایا برای این نگاشت (به ازای  $c=2$ ) به صورت پکتواخت می باشد [5] یعنی:

$$f(x) = 1 \quad 0 \leq x \leq 1 \quad (13)$$

بر همین اساس به مادگی می توان دید که نمای لیپانوف این نگاشت برابر  $Ln(c)$  می گردد [5].

با توجه به پکتواخت بودن تابع چگالی، تابع همبستگی نگاشت مثلثی به صورت زیر محاسبه شده است [4]:

$$c(m) = \frac{\delta(m)}{12} \quad m = 0,1,2,\dots \quad (14)$$

رابطه (14) نشان می دهد که نتایج حاصل شده از تکرارهای نگاشت مثلثی نیز همچون نگاشت لجستیک نامعبئه می باشد.

نگاشت بکر: نگاشت بکر به صورت زیر تعریف می شود:

$$g(x) = \begin{cases} \frac{x}{c} & 0 \leq x < c \\ \frac{1-x}{1-c} & c \leq x \leq 1 \end{cases} \quad 0 < c < 1 \quad (15)$$

تابع چگالی پایا و نمای لیپانوف این نگاشت نظیر نگاشت مثلثی بوده ولی تابع همبستگی این نگاشت کاملاً متفاوت می باشد. تابع همبستگی

نگاشت بکر به ازای  $c = 0.5$  برابر (16) می گردد [5]:

$$c(m) = \frac{1}{3 \times 2^{m+2}} \quad m = 0,1,2 \quad (16)$$

همانطور که ملاحظه می شود نتایج حاصل از تکرار نگاشت بکر همبسته بوده و میزان همبستگی با افزایش  $m$  به صورت نمایی کاهش می یابد.

نگاشت جیبی چف: نگاشتهای جیبی چف به صورت زیر تعریف می شود:

$$g_k(x) = \cos(t \cos^{-1} x) \quad -1 \leq x \leq 1, \quad t = 2,3,\dots \quad (17)$$

نگاشت جیبی چف به ازای مقادیر مختلف  $t$  دارای تابع چگالی پایایی برابر  $\frac{1}{\pi \sqrt{1-x^2}}$  می باشد [6] و نمای لیپانوف و تابع همبستگی برای این

نگاشت به صورت زیر محاسبه شده است [1].

$$\lambda = \ln(t) \quad (18)$$

$$c(m) = \frac{\delta(m)}{2} \quad m = 0, 1, 2, \dots \quad (19)$$

با توجه به رابطه (19) مقادیر حاصل شده از نگرارهای نگاشت جیبی چپ نیز نامعین می‌باشند.

### ۳- برخی ویژگیهای متغیرهای تصادفی

همانطور که بیان گردید، نگاشتهای آشوبی ارگادیک، دنباله‌هایی تولید خواهند نمود که رفتاری نامنظم و تصادف‌گونه داشته- که رفتار تصادفی آنها مستقل از حالت اولیه نگاشت، توسط تابع چگالی پایا توصیف می‌گردد. تابع چگالی پایا نظیر تابع چگالی احتمال برای متغیرهای تصادفی می‌باشد. بنابراین مشابهت دنباله‌های آشوبی با نمونه‌های یک متغیر تصادفی کمک مؤثری در توجیه رفتار دنباله‌های آشوبی خواهد نمود. برای این منظور متغیرهای تصادفی پیوسته‌ای که روی فاصله [0,1] تعریف شده‌اند را مورد بررسی قرار می‌دهیم.

فرض کنید  $X$  یک متغیر تصادفی پیوسته باشد که نمونه‌های آن را به صورت اعداد اعشاری و با دقت نامحدود نمایش می‌دهیم. قبل از مطرح کردن قضیه‌ای در این خصوص، توضیح این نکته ضروری است که مقدار یک عدد اعشاری در پیمانه یک برابر مقدار اعشار آن عدد تعریف می‌شود [7].

قضیه ۱: فرض کنید  $X$  یک متغیر تصادفی پیوسته با تابع چگالی احتمال  $f_X(x)$  باشد که روی ناحیه [0,1] تعریف شده است. اگر  $f_X(x)$  نامی پیوسته، مشتق‌پذیر و متقارن نسبت به خط  $x=0.5$  باشد، آنگاه تابع چگالی احتمال متغیر تصادفی  $Y = a^k X \bmod 1$  ( $a = 2, 4, 6, \dots$  و  $k = 0, 1, 2, \dots$ ) الف) نسبت به خط  $y=0.5$  متقارن است ب) با افزایش  $k$ ، متغیر تصادفی  $Y$  به سمت یک متغیر تصادفی با توزیع یکنواخت میل خواهد نمود [1].

به منظور استفاده از قضیه ۱ و تشابه رفتار دنباله‌های آشوبی با نمونه‌های یک متغیر تصادفی مثالی را مورد بررسی قرار می‌دهیم. فرضی کنید  $f_X(x)$  تابع چگالی احتمال متغیر تصادفی  $X$  باشد که به صورت (۱۰) تعریف شده است.  $f_X(x)$  دارای محور تقارن  $x=0.5$  می‌باشد. بنابراین قضیه ۱ برای آن برقرار است. حال رفتار متغیر تصادفی  $Y = 10^k X \bmod 1$  را از طریق شبیه سازی مورد بررسی قرار می‌دهیم. برای اینکار ابتدا متغیر تصادفی  $X$  را شبیه سازی کرده و به کمک آن  $Y$  را به ازای نهای مختلف تولید می‌کنیم. برای تولید متغیر تصادفی  $X$  کافی است یک متغیر تصادفی یکنواخت در فاصله (0,1) را به تابع  $F_X^{-1}(u) = \frac{1}{\pi} \left\{ \sin \left[ \pi \left( u - \frac{1}{2} \right) \right] + 1 \right\}$  اعمال نماییم.

شکل (۱-الف) تابع چگالی احتمال حاصل شده از شبیه سازی متغیر  $X$  را نشان می‌دهد- که نظیر تابع (۱۰) می‌باشد. با اعمال تابع  $Y = 10^k X \bmod 1$  به نمونه‌های  $X$  تابع چگالی  $Y$  به ازای نهای مختلف بدست می‌آید. در شکل (۱-ب)، (۱-ج) و (۱-د) این توابع که در شبیه سازی بدست آمده، نشان داده شده‌اند. همانطور که ملاحظه می‌شود با افزایش  $k$  تابع چگالی احتمال  $f_{Y,k}(y)$  به تدریج به سمت یک توزیع یکنواخت میل نموده است (شکل (۱-د) را ملاحظه نمایید).

حال نگاشت لجستیک را در نظر می‌گیریم. دنباله حاصل شده توسط این نگاشت یعنی  $x_0, f^1(x_0), f^2(x_0), \dots$  دارای یک رفتار تصادفی نظیر متغیر  $X$  می‌باشد. از آنجا که این نگاشت یک نگاشت ارگادیک با تابع چگالی پایا (۱۱) است- انتظار داریم، نتایج قضیه ۱ برای دنباله‌های نوعی تولید شده توسط چنین نگاشتی برقرار باشد. شبیه سازی و تولید دنباله‌های آشوبی توسط نگاشت  $g(x)$  و بدست آوردن تابع چگالی نمونه‌ها نشان می‌دهد که رفتار دنباله‌ها و نمونه‌های متغیر تصادفی  $X$  کاملاً با یکدیگر شباهت دارد. شکلهای (۲-الف) الی (۲-د) نتایج این شبیه سازی را نشان می‌دهد. برای بررسی تابع احتمال هر یک از ارقام اعشاری یک متغیر تصادفی در فاصله [0,1] قضیه ۲ را می‌توان بیان نمود:

قضیه ۲: اگر  $X$  یک متغیر تصادفی پیوسته در فاصله [0,1] با تابع توزیع  $F_X(x)$  باشد، در این صورت تابع احتمال متغیر تصادفی  $Y = [a^k X] \bmod a$  به صورت زیر خواهد شد [1].

$$P_{Y,k}(y) = P(Y = y) = \sum_{j=0}^{a^k-1} \left( F_X \left( \frac{a^k y + j}{a^k} \right) - F_X \left( \frac{a^k y + j - 1}{a^k} \right) \right) \quad (20)$$

علاوه بر این اگر  $f_X(x)$  نسبت به خط  $x=0.5$  متقارن باشد، در این صورت داریم:

$$P_{Y,k}(y) = P_{Y,k}(a-1-y) \quad y = 0, 1, \dots, a-1 \quad k = 1, 2, \dots \quad (21)$$

[1] در صورت قسبه نشان دهنده جزء صحیح می باشد)

در قضیه ۲ با شرط تئارن  $f_Y(x)$  نسبت به خط  $x=0.5$  به سادگی می توان ثابت نمود که تابع احتمال متغیر تصادفی  $Y = [a^k X] \bmod a$  با افزایش  $k$  به سمت یک متغیر تصادفی گسسته یکنواخت میل خواهد نمود [۱] یعنی:

$$\lim_{k \rightarrow +\infty} P_{Y,k}(Y=y) = a^{-1} \quad y = 0, 1, \dots, a-1 \quad (22)$$

بنابراین انتظار داریم آنتروپی  $Y$  با افزایش  $k$  به سمت  $\log_2 a$  میل کند. یعنی:

$$\lim_{k \rightarrow +\infty} I_k(Y) = -\lim_{k \rightarrow +\infty} \sum_{y=0}^{a-1} P_{Y,k}(y) \log_2 [P_{Y,k}(y)] = \log_2 a \quad (23)$$

به عنوان مثال آنتروپی متغیر تصادفی  $Y = [10^k X] \bmod 10$  به ازای نهای مختلف و برای متغیر تصادفی  $X$  با تابع چگالی (۱۰) به صورت جدول (۱) محاسبه شده است. همانطور که ملاحظه می شود، آنتروپی  $I_k(Y)$  با افزایش  $k$  سریعاً به سمت  $\log_2 10$  میل می کند.

برای بررسی استقلال ارقام اعشاری متغیرهای تصادفی قسبه زیر را بیان نموده ایم.

قضیه ۳: اگر  $Y$  یک متغیر تصادفی پیوسته یکنواخت روی  $[0,1]$  باشد، کلیه متغیرهای تصادفی زیر مستقل از هم می باشند [۱]

$$D_k = [a^k Y] \bmod a \quad k = 1, 2, \dots$$

دنباله های آشوبی تولید شده توسط نگاشتهای ارگادیک اساساً با یک متغیر تصادفی متفاوت می باشند. ولی از آنجا که رفتار تصادف گونه این نگاشتهای مشابه با متغیرهای تصادفی توسط یک تابع چگالی توصیف می گردد، بنابر این چگونگی رفتار متغیرهای تصادفی کمکی در توجیه رفتار مؤلفه های دنباله های تولید شده توسط نگاشتهای آشوبی خواهد بود. البته نتایج بیان شده در حالت کلی برای این دنباله ها برقرار نیست، چرا که در هر حال دنباله های آشوبی توسط حالت اولیه خود کاملاً مشخص بوده و رفتار نامنظم آنها به خاطر شرایط خاص غیرخطی بودن نگاشت می باشد. اما از آنجا که رفتار ایستادن مؤلفه های این دنباله ها نظیر نمونه های یک متغیر تصادفی یا تابع احتمالی معلوم می باشد، نتایجی مشابه با آنچه در قضایای این بخش مطرح نمودیم برای این دنباله ها دور از انتظار نمی باشد.

#### ۴- اثر محدودیت دقت محاسبات بر رفتار تناوبی و تابع همبستگی

ویژگی نگاشتهای آشوبی نظیر غیرقابل پیش بینی بودن از جمله ویژگیهای جالب توجه در کاربردهای عملی، از جمله رمزنگاری می باشد. از آنجا که در یکارگیری این نگاشتهای همواره با خطای گرد کردن و یا به عبارتی محدود بودن دقت محاسبات مواجه هستیم، لذا در این بخش این موضوع مورد بررسی قرار می گیرد.

هنگامی که دقت محاسبات  $r$  رقم اعشار (در مبنای  $a$ ) باشد، حداکثر  $a^r$  حالت مختلف برای ارقام بعد از ممیز اعشار قابل تصور است. به عبارت دیگر با یک سیستم گسسته با تعداد حالات محدود مواجه می باشیم. در پیاده سازی نگاشت  $g(x)$  و تولید دنباله های مورد نظر، این واقعیت باعث بروز میکلهایی با دوره تناوب محدود می گردد. خوشبختانه نتایج عملی پیاده سازی این نگاشتهای حاکی از آن است که رفتار نامنظم نگاشتهای مستقل از حالت اولیه، با تابع چگالی پایایی نگاشت تطابق دارد. این نتیجه به نوعی حاکی از اعتبار تئوری ارگادیک می باشد. دنباله های که توسط نگاشتهای با دقت  $r$  رقم اعشار توسط یک کامپیوتر تولید می گردد، دارای رفتار غیرتناوبی است و تکرارهای تابع روی یک ناحیه باعث ایجاد شبه مدارهایی (با دنباله های با طول گذرای اولیه، که نهایتاً به یک دنباله متناوب یا سیکل ختم می شوند) می گردد که با تقریب مناسبی نظیر سیکلهایی است که توسط دنباله های آشوبی ایجاد می گردد. بنابر این با انکار تابع چگالی پایایی می توان خواص آماری دنباله های که توسط یک نگاشت آشوبی توسط کامپیوتر و با دقت محدود بدست می آید را مورد بررسی قرار داد.

در بخش قبل تابع چگالی پایایی نگاشت لجستیک که توسط کامپیوتر و با دقت چهارده رقم اعشار حاصل شده بود در شکل (۲) مشخص گردید. این آنکال علاوه بر نشان دادن رفتار نامنظم این دنباله ها، تطابق رفتار دنباله های تولید شده را با تابع چگالی مربوطه نشان می دهد. در مورد دیگر نگاشتهای مطرح شده در این فصل نیز رفتاری مشابه وجود دارد. نکته مهمی که در پیاده سازی نگاشتهای وجود دارد، چگونگی رفتار تناوبی دنباله ها است. گرد کردن اعداد هنگام محاسبه نگاشتهای نظیر یک نویز بر رفتار نگاشت اثر می گذارد و پس از اثرات آن تغییر ساختار

تناوبی مدارهای دنباله‌های آنتوی است. گرد کردن اعداد باعث ایجاد دنباله‌های غیرتناوبی می‌شود که پس از طی تکرارهای بی‌شمار سرانجام به یک دنباله متناوب و یا به یک نقطه ثابت ختم می‌گردد.

در شبیه‌سازیهای انجام شده، برای تولید هر دنباله ابتدا یک حالت اولیه به صورت تصادفی در فاصله دامنه تعریف نگاشت انتخاب و سپس تعدادی مؤلفه از دنباله به عنوان حداکثر طول گذرای اولیه در نظر گرفتیم که آن را  $L_{in}$  می‌نامیم. پس از مشاهده  $L_{in}$  مؤلفه اول به جستجوی سیکل‌های نهایی و اندازه‌گیری دوره تناوب آنها پرداختیم. در شبیه‌سازی نگاشت لجستیک با رابطه  $g(x) = 4x(1-x)$  ابتدا دقت محاسبات ده رقم اعشار در نظر گرفته شد (در منای ده). نتایج شبیه‌سازیها نشان داد، اگر  $L_{in}$  کمتر از  $10^5$  باشد، عملاً تعداد قابل توجهی از دنباله‌های مورد آزمایش به سیکل نهایی نمی‌رسند. به عبارت دیگر این دنباله‌ها دارای طول گذرای اولیه بیش از  $10^5$  می‌باشند. هنگامی که  $L_{in}$  برابر  $10^6$  انتخاب شود، تقریباً تمامی دنباله‌ها به سیکل‌های نهایی خود خواهند رسید. ما در نظر گرفتن  $1000$  دنباله و  $L_{in} = 10^6$ ، 5 سیکل نهایی با دوره تناوبهای 1، 2، 3، 4، 5 و 6 مشاهده گردید و 833 دنباله نهایتاً به سیکل با دوره تناوب 224631 ختم شدند. از میان دنباله‌های مورد آزمایش دو دنباله به سیکل نهایی نرسیدند، به عبارت دیگر دو دنباله دارای طول اولیه گذرای بیش از  $10^6$  بودند (با سیکل نهایی آنها دوره تناوبی بیش از  $10^6$  داشته است). با افزایش  $L_{in}$  به  $10^7$  و تکرار آزمایش کلیه دنباله‌ها به سیکل‌های نهایی خود می‌رسند. نکته حایز اهمیت دیگر در این است که سیکل با دوره تناوب 1 در نتایج ظاهر می‌شود. حال دقت محاسبات را چهارده رقم اعشار در نظر می‌گیریم. علاوه بر افزایش طول گذرای اولیه دوره تناوب سیکل‌ها نیز افزایش می‌یابد. در این حالت یا در نظر گرفتن  $L_{in}$  به اندازه  $10^7$  مؤلفه، حدود 972 دنباله از هزار دنباله مورد آزمایش به سیکل نهایی خود نرسیدند. به عبارت دیگر طول گذرای اولیه آنها بیش از  $10^7$  بوده است. اگر  $L_{in}$  برابر  $10^8$  مؤلفه در نظر گرفته شود، نتایج حاصل از آزمایش  $100$  دنباله نشان می‌دهد که تمامی آنها به سیکل‌های نهایی خود می‌رسند. از این میان بیش از نصف دنباله‌ها با طول گذرای نسبتاً بزرگ نهایتاً به دنباله تماماً صفر خواهند رسید (سیکل با دوره تناوب 1) و اکثریت قریب به اتفاق دنباله‌های باقیمانده نیز به سیکلی با دوره تناوب 15784521 ختم می‌شوند. اگر دقت محاسبات به 20 رقم اعشار افزایش یابد، آزمایش‌های مختلف نشان داد که با در نظر گرفتن  $L_{in}$  تا اندازه  $10^8$  هیچیک از دنباله‌های مورد آزمایش به سیکل‌های نهایی نرسیدند. افزایش  $L_{in}$  به میرایی بیش از  $10^8$  مؤلفه، زمان شبیه‌سازی را بسیار طولانی و غیرعملی خواهد نمود. بنابر این نتایج شبیه‌سازی نگاشت لجستیک به وضوح نشان می‌دهد که با افزایش دقت محاسبات، طول گذرای اولیه و دوره تناوب سیکل‌های نهایی نیز افزایش می‌یابد. با توجه به مطالب بخش 2 اگر پارامتر نگاشت لجستیک (11) اندکی کمتر از چهار باشد، باز هم رفتار دنباله‌های تولید شده آنتوی خواهد بود. حال اگر نگاشت لجستیک را به شکل  $(4 - \epsilon)x(1-x)$  در نظر بگیریم، تبصه بیان شده رفع می‌شود. نتایج شبیه‌سازی نشان داد که اگر دقت محاسبات چهارده رقم اعشار و  $\epsilon = 10^{-12}$  باشد، برای  $L_{in} = 10^7$  هیچ سیکل نهایی مشاهده نشد. اگر  $L_{in}$  برابر  $10^8$  مؤلفه در نظر گرفته شود، نتایج حاصل از  $100$  دنباله نمونه نشان داد که 98 دنباله نهایتاً به سیکلی با دوره تناوب 32261531 ختم می‌شوند. البته نتایج این شبیه‌سازی نشان داد که سیکل‌های نهایی اگر چه دارای دوره تناوب یکسانی هستند ولی لزوماً همگی دنباله‌ها به یک سیکل یکسان ختم نمی‌شوند. این نتایج نشان می‌دهد که اولاً با انتخاب مناسب  $\epsilon$  می‌توان اثر سیکل‌های با دوره تناوب یک (تماماً صفر) را حذف نمود و ثانیاً دوره تناوب سیکل نهایی و طول گذرای اولیه را نیز افزایش داد. در این حالت اگر دقت محاسبات 20 رقم اعشار و مثلاً  $\epsilon = 10^{-18}$  باشد به ازای  $L_{in} = 10^8$  هیچ سیکلی نهایتاً مشاهده نشد. در مورد نگاشت‌های دیگر نیز این بررسیها انجام گرفته و نتایج مشابهی حاصل شده است [1].

در انتهای این بخش نتایج آزمایش‌های شبیه‌سازی در مورد همبستگی دنباله‌های آنتوی را مورد بررسی قرار می‌دهیم. همانطور که دیدیم تابع همبستگی نگاشت‌های لجستیک، مثلثی و جیبی صرف به صورت تابع ضربه گسسته بوده و تابع همبستگی نگاشت بکر نیز به صورت نمایی میرا می‌گردد. برای بررسی اثر محدودیت دقت محاسبات بر روی تابع همبستگی نگاشت‌ها، صد دنباله بطول 10000 مؤلفه - که حالت‌های اولیه آنها به صورت تصادفی انتخاب شده بودند - مورد آزمایش قرار گرفتند.

نتایج شبیه‌سازی نگاشت‌های لجستیک، مثلثی، بکر و جیبی چف در جدول (2) درج شده است. همانطور که ملاحظه می‌گردد،  $c(0)$  بدست آمده با نتایج نظری کاملاً مطابقت دارد. در مورد نگاشت‌های لجستیک، مثلثی و جیبی چف مقادیر  $c(m)$  به ازای مقادیر  $m \neq 0$  بسیار کوچک و در حد انتظار می‌باشد. در مورد نگاشت بکر نیز مقادیر نسبتاً بزرگتر می‌باشد که با توجه به رابطه (20) قابل توجیه می‌باشد. آنچه در مجموع

می‌توان بیان نمود این است که اگر دقت محاسبات در پیاده‌سازی نگاشته مناسب انتخاب گردد، به ازای حالت‌های اولیه مختلف اولاً دنباله‌ها غالباً پس از طی طول گذاری قابل توجه سرانجام به سیکل‌های با دوره تناوب بزرگ ختم می‌شوند. ثانیاً رفتار نامنظم و تصادفی دنباله‌ها به خوبی توسط تابع چگالی پاپا توصیف می‌گردند و ثالثاً دنباله‌های تولید شده از لحاظ تابع همبستگی نیز مطلوب می‌باشند. در این میان تنها نکاشت بکر از جهت تابع همبستگی قدری ضعیف می‌باشد.

#### 5- خلاصه و نتیجه گیری

استفاده از نگاشته‌های آشوبی با توجه به خصوصیات جالب توجه آنها به عنوان ابزاری برای تولید دنباله‌ای تولید کننده اجزایی در سیستم‌های رمز قابل بررسی است [1]. رفتار نامنظم و تصادف‌گونه مؤلفه‌های دنباله آشوبی توسط تابع چگالی پاپا توصیف می‌شوند، همانطور که نمونه‌های یک متغیر تصادفی با تابع چگالی احتمال از آنجا که قصد ما بکارگیری این دنباله‌ها برای تولید دنباله‌های باپتری شبه تصادفی است، چگونگی رفتار مؤلفه‌های آنها - که در عمل به صورت اعدادی حقیقی با دقت محدود هستند - حایز اهمیت می‌باشد. بدین جهت یا تکیه بر نگاشته‌های ارگادیک و چهار نگاشت لجنیک، مثلثی، بکر، و جی-جف و با توجه به شباهت تابع چگالی پاپا و تابع چگالی احتمال، خواص جالب توجهی از متغیرهای تصادفی استخراج گردید. اگر نمونه‌های این متغیرهای تصادفی را به صورت اعداد حقیقی با دقت نامحدود فرض کنیم، ملاحظه نمودیم که ارقام با وزن کمتر نمونه‌ها سریعاً دارای توزیع یکنواختی خواهند شد و آنتروپی ارقام سریعاً به سمت  $\log_2 5$  میل می‌کند، از طرف دیگر با یکنواخت شدن توزیع ارقام، ثابت نمودیم که ارقام مستقل از یکدیگر نیز خواهند شد. مشابهت رفتاری مؤلفه‌های یک دنباله آشوبی با نمونه‌های یک متغیر تصادفی، این انتظار را بوجود می‌آورد که اولاً ارقام با وزن کمتر مؤلفه‌های یک دنباله آشوبی دارای توزیع یکنواخت‌تری باشند و ثانیاً ارقام با وزن کمتر وابستگی کمتری نسبت به یکدیگر داشته باشند. نتایج شبیه‌سازیها به خوبی نشان می‌دهد که دنباله‌های تولید شده توسط نگاشته‌های آشوبی دارای چنین ویژگی‌هایی می‌باشند. این حقیقت کمک مؤثری در تولید دنباله‌های باپتری با خواص آماری مطلوب و امنیت بالا خواهد بود [1] از جمله نکات حایز اهمیت در این بررسی، تاثیر محدود بودن دقت محاسبات در پیاده‌سازی نگاشته‌ها و چگونگی رفتار نقاط تناوبی و تابع همبستگی می‌باشد. همانطور که ملاحظه گردید، در نگاشته‌های مورد نظر با افزایش دقت محاسبات طول گذاری اولیه دنباله‌ها بزرگتر شده و دوره تناوب سیکل‌های نهایی نیز افزایش می‌یابد و نهایتاً دنباله‌های آشوبی به سیکل‌های با دوره تناوب بسیار بزرگی ختم می‌گردند. از جمله معایب این پیاده‌سازیها بروز سیکل‌های با دوره تناوب یک (یا حیثاً دوره تناوب کوچک) می‌باشد که باید به نحو مناسبی از ایجاد آن جلوگیری نمود. این چاره‌اندیشی لزوم بررسی دقیق رفتار تناوبی دنباله‌ها را ضروری می‌نماید. بنابراین باید چگونگی رفتار تناوبی دنباله‌ها و تاثیر دقت محدود بر روی آن از لحاظ نظری کاملاً مشخص گردد و با حداقل کرنی برای دوره تناوب دنباله‌های اثبات گردد. در مورد تابع همبستگی نیز نتایج شبیه‌سازی نشان می‌دهد که دنباله‌های تولید شده توسط نگاشته‌های لجنیک، مثلثی و جی-جف با تشریب خوبی نامعین می‌باشند و در مورد نکاشت بکر نیز با توجه به رابطه تابع همبستگی این نگاشت، نتایج قابل قبول می‌باشند.

#### 5- مراجع

[1] محمد دخیل‌علیان "ارزیابی دنباله‌های شبه تصادفی و طراحی مولدهای آشوبی"، دانشگاه صنعتی اصفهان، دانشکده برق و کامپیوتر، رساله دکتری، آبان 1377.

[2] Devaney R.L., An Introduction to Chaotic Dynamically Systems, Second Edition, Addison Wesley, 1989.

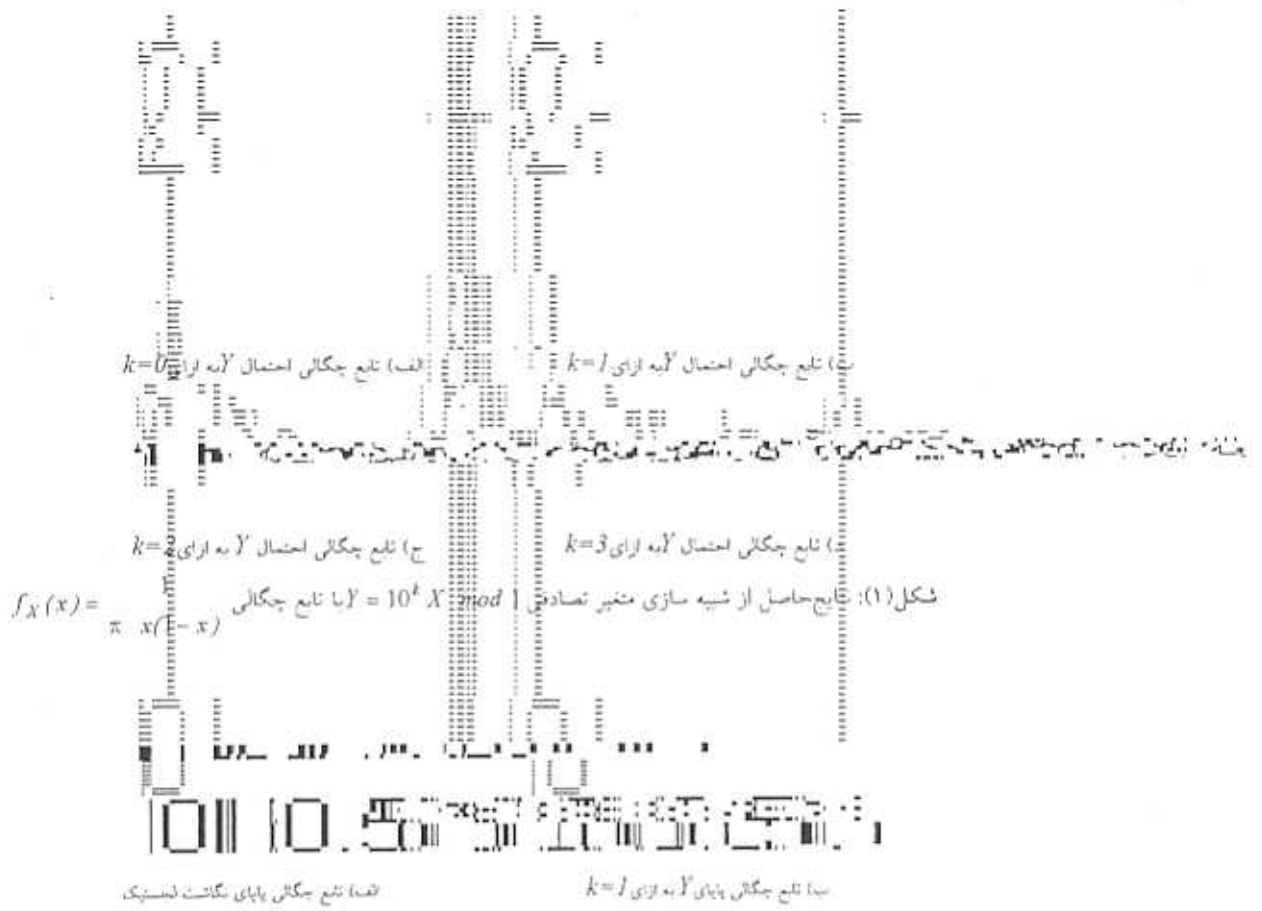
[3] Hao Bai-Lin, CHAOS II, Word Scientific Pub. Co. Singapore, 1990.

[4] Schuster H.G., Deterministic Chaos, Third augmented edition, Weiteim, New York, VCH, 1995.

[5] Walker W.T., Chaotic Pseudo-Random Sequences and Radar, Ph.D. Thesis University of Arizona, 1993.

[6] Kohada T. and Tsunenda A., "Pseudo-Noise Sequence by Chaotic Nonlinear Maps and Their Correlation Properties", ICICE Transaction on communication, E76-B, pp.855-862, 1993.

[7] Parker T.S. and Chua L.O., "Chaos: A Tutorial for Engineers", IEEE Proceeding, vol.75, No.8, August 1987.



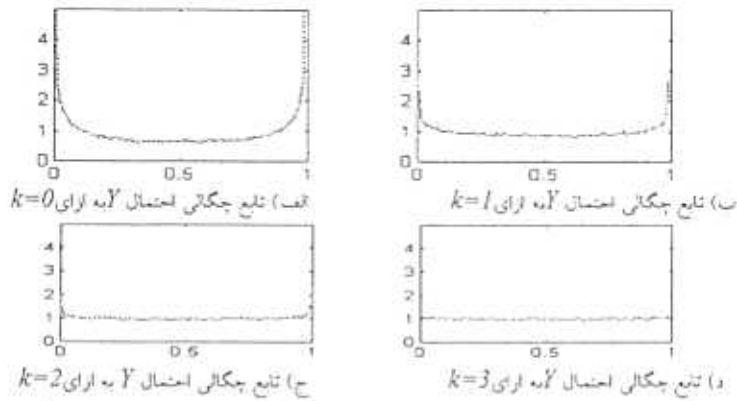
شکل (۲): میانگین و مقادیر تابع همبستگی حاصل از شبیه سازی نگاشتها. طول دنبالهها = ۱۰۰۰۰ و تعداد دنبالهها در هر آزمایش = ۱۰۰۰

جدول (۱): آنتروپی متغیر تصادفی Y به ازای تلفعات مختلف (log<sub>2</sub> 10 ≈ 3.321928).

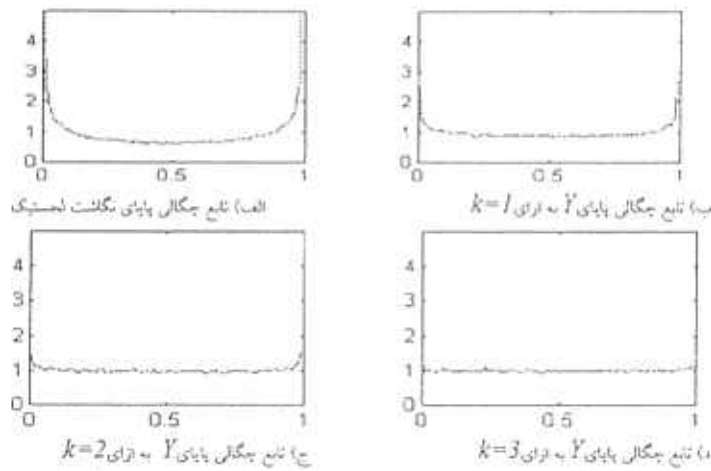
k	۱	۲	۳	۴	۵	۶	۷
$I_k(Y)$	۳.۱۳۹۱۱۸	۳.۳۰۱۵۶۲	۳.۳۱۸۷۸۶	۳.۳۲۱۷۱۰	۳.۳۲۱۹۰۶	۳.۳۲۱۹۱۵	۳.۳۲۱۹۱۷

میانگین	لنستیک	متلس	بکر	چین چفد مرتبه ۲	چین چفد مرتبه ۳
۰.۵۰۰۵	۰.۵۰۱۳	۰.۵۰۰۲۵	۰.۵۰۰۲۵	۵.۸۴۵۶ E-5	۲.۱۱۰۴ E-4
c(0)	۰.۱۲۵۰	۰.۰۸۳۶	۰.۰۸۳۶	۰.۵۰۰۰	۰.۵۰۰۰
c(1)	۱.۹۸۴۰ E-4	-۴.۴۱۱۰ E-6	۰.۰۴۱۵	۱.۰۳۵۵ E-4	۶.۶۸۱۵ E-4
c(2)	-۹.۸۳۱۷ E-5	۶.۶۷۱۲ E-4	۰.۰۲۰۷	-۱.۰۹۳۸ E-3	-۲.۱۹۳۴ E-4
c(3)	۱.۱۳۰۷ E-4	۳.۹۱۶۱ E-4	۰.۰۱۰۲	-۶.۶۷۴۲ E-4	۱.۲۲۸۸ E-4
c(4)	-۱.۶۴۳۸ E-4	۲.۳۷۱۸ E-4	۰.۰۰۵۴	۴.۸۹۱۴ E-4	۶.۶۳۳۷ E-6
c(5)	-۸.۹۳۳۶ E-5	۳.۱۱۳۴ E-4	۰.۰۰۲۸	-۲.۰۹۲۱ E-4	-۶.۴۹۷۴ E-4
c(6)	۹.۱۵۲۵ E-6	۲.۴۴۲۵ E-4	۰.۰۰۱۴	-۱.۳۶۲۸ E-4	-۱.۳۳۴۵ E-4
c(7)	۱.۵۸۱۸ E-4	۱.۸۸۱۰ E-4	۰.۰۰۰۷	-۱.۲۹۷۸ E-4	۳.۱۱۷۳ E-4
c(8)	-۶.۶۴۹۶ E-5	۱.۳۹۹۶ E-4	۳.۷۳۷۴ E-4	۸.۱۸۵۵ E-4	۳.۹۵۹۷ E-4
c(9)	۷.۷۰۲۳ E-5	۱.۰۰۹۵ E-5	۲.۶۹۰۵۱ E-6	۵.۳۷۴۱ E-4	-۳.۹۲۵۹ E-4
c(10)	۲.۳۴۶۷ E-5	۲.۶۴۳۴ E-4	۱.۰۴۷۰ E-4	-۷.۳۹۴۱ E-4	۲.۳۵۵۵ E-4





شکل (۱): نتایج حاصل از شبیه سازی متغیر تصادفی  $Y = 10^k X \bmod 1$  با تابع چگالی  $f_X(x) = \frac{1}{\pi\sqrt{x(1-x)}}$



شکل (۲): نتایج حاصل از شبیه سازی متغیر تصادفی  $Y = 10^k X \bmod 1$  با تابع چگالی  $f_X(x) = \frac{1}{\pi\sqrt{x(1-x)}}$

جدول (۱): آنتروپی متغیر تصادفی  $Y$  به ازای تکمعی مختلف  $\log_2 10 \approx 3.321928$

$k$	۱	۲	۳	۴	۵	۶	۷
$I_k(Y)$	۲/۱۲۹۱۱۸	۲/۳۰۱۵۸۲	۲/۳۱۸۷۸۶	۲/۳۳۱۷۱۰	۲/۳۳۲۱۹۰۶	۲/۳۳۲۱۹۲۵	۲/۳۳۲۱۹۲۷

جدول (۲): میانگین و مقادیر تابع همبستگی حاصل از شبیه سازی نگشته طول دنباله ها = ۱۰۰۰۰ و تعداد دنباله ها در هر آزمایش = ۱۰۰۰

لجستیک	منشی	مکر	چین چف مرتبه ۲	چین چف مرتبه ۳	میانگین
0.5003	0.5013	0.50025	2.1104 E-4	5.8456 E-5	میانگین
0.1250	0.0836	0.0836	0.5000	0.5000	c(0)
1.9840 E-4	-4.4110 E-6	0.0415	1.0355 E-4	6.6813 E-4	c(1)
-9.8317 E-5	6.6712 E-4	0.0207	-1.0938 E-3	-2.1934 E-4	c(2)
1.1307 E-4	3.9161 E-4	0.0102	-6.6742 E-4	1.2288 E-4	c(3)
-1.6438 E-4	2.3718 E-4	0.0054	4.8914 E-4	6.6337 E-6	c(4)
-8.9336 E-5	3.1134 E-4	0.0028	-2.0921 E-4	-6.4974 E-4	c(5)
9.1525 E-6	2.4425 E-4	0.0014	-1.3628 E-4	-1.3345 E-4	c(6)
1.5818 E-4	1.8810 E-4	0.0007	-1.2978 E-4	3.1173 E-4	c(7)
-6.6496 E-5	1.3996 E-4	3.7374 E-4	8.1855 E-4	3.9597 E-4	c(8)
7.7023 E-5	1.0093 E-5	2.69051 E-6	5.3741 E-4	-3.9259 E-4	c(9)
2.3467 E-5	2.6434 E-4	1.0470 E-4	-7.3941 E-4	2.3553 E-4	c(10)